

京大防災研究所

正員

石原安雄

京大防災研究所

正員

下島栄一

本文では、洪水流出現象の主要要素が、流域内各孔質表層の内部及び上部の「流れ」であるという観点に立ち、水理模型による雨水流出構造の simulation technique を論じる。その操作過程における相似則は、重力と摩擦力とが他の力学項に比べて卓越していることみられた運動方程式と質量保存を示す連続の式より導びかれていく。流出模型の構成に関する可能性を見出すため、近似的な simulation (実模型) を考証し、それに介在する不可避の誤差の評価と理論的相似を満たす模型(理想模型)によることであらう結果と対比することとする。また、模型の信頼性を論じる。

### 1 相似の誤差

#### 1-1 相似律の誤差

運動系の相似とは、model prototype

と、う2つの系の対応する時空間にて、現象を形成する物理量が一定の比例定数をもつことをいふ。しかし、水理模型の構成過程で不可避の誤差が入る事がある。それは、運動を支配する時空間及び運動場の定数に在る誤差が、模型で得られた水理量に如何なる様子で伝播するかを知ることは重要である。以下では、

prototype の時刻  $t_p$  位置  $x_p$  に対して、model での相似律を満す、又、満たない系の時刻、位置をそれぞれ、 $T_m (=t_p t_0)$ ,  $X_m (=x_p x_0)$ ;  $t_m (=t_p t_0)$ ,  $x_m (=x_p x_0)$  と対応させ物理量の対比を考証する。(図-1 参照) 但し、 $x, x_0; t, t_0$  は長さ、時間の相似比で、添字 "0" は相似律を満す系を意味する。河道横断面幾何形状の相似関係は  $R_* = K_* A_*^{2/3}$ ,  $R$ : 径深比,  $A$ : 断面積比 と定む。

(中間流)

$$\frac{R}{R_0} = \frac{Y_e}{Y_{e0}} \frac{x}{x_0} \frac{R_0}{R} \{ 1 + W_{sb} \}, \quad \frac{U}{U_0} = \frac{R}{R_0}, \quad \frac{t}{t_0} = \frac{x}{x_0} \frac{R_0}{R}$$

(表面流)

$$\frac{R'}{R_0} = \left( \frac{Y_e}{Y_{e0}} \frac{x}{x_0} \frac{n'}{n_0} \right)^{3/5} \{ 1 + W_s \}^{3/5}, \quad \frac{U'}{U_0} = \left( \frac{Y_e}{Y_{e0}} \frac{x}{x_0} \right)^{3/5} \left( \frac{n_0}{n'} \right)^{3/5} \{ 1 + W_s \}^{3/5}$$

(河底流)

$$\frac{U_*}{U_{*0}} = \left\{ \frac{Y_e}{Y_{e0}} \frac{N_*}{N_{*0}} \left( \frac{x}{x_0} \right)^2 \right\}^{3/20+3} \left( \frac{K_{*0}}{K_*} \right)^{3/20+3} \{ 1 + W_{cj} \}^{3/20+3}, \quad \frac{V_*}{V_{*0}} = \left( \frac{N_{*0}}{N_*} \right)^{22/220+3} \left( \frac{Y_{e0}}{Y_e} \left( \frac{x}{x_0} \right)^2 \right)^{22/220+3} \left( \frac{K_*}{K_{*0}} \right)^{22/220+3} \{ 1 + W_{cj} \}^{22/220+3}$$

$$\frac{V_*}{V_{*0}} = \left\{ \frac{Y_e}{Y_{e0}} \frac{N_*}{N_{*0}} \left( \frac{x}{x_0} \right)^2 \right\}^{32/220+3} \left( \frac{K_{*0}}{K_*} \right)^{32/220+3} \{ 1 + W_{cj} \}^{32/220+3}$$

但し、 $j = sb, s$        $sb$ : 中間流,  $s$ : 表面流  
 $c$ : 河底流 を意味する。

ここで、添字 "0", "\*" はそれがれがれ表面流、河底流等、また、添字無しの  $t, x, R$  は中間流を示す。また、 $Y_e$  : 水深、 $U, U_0, U'$  : 平均流速比、 $Y_e$  : 有効降雨強度比、 $R$  : 透水係数比、 $N$  : 実際率比、 $n, n_0$  : Manning の粗度係数等、誤差を含む模型での相似律(図-1 参照)が満足されず、以下の様に  $\eta_i$  ( $i=1, 2, \dots, 7$ ) と含む形式で表現されるから、

$$U R^{-1} = 1 + \eta_1, \quad U h t^{-1} R^{-1} = 1 + \eta_2, \quad U t x^{-1} R^{-1} = 1 + \eta_3$$

$$U' h'^{-1/3} n' = 1 + \eta_4, \quad U' x^{-1/5} = 1 + \eta_5, \quad h' t^{-1} R^{-1} = 1 + \eta_6, \quad U^* Y_*^{-2/3} N_* = 1 + \eta_7$$

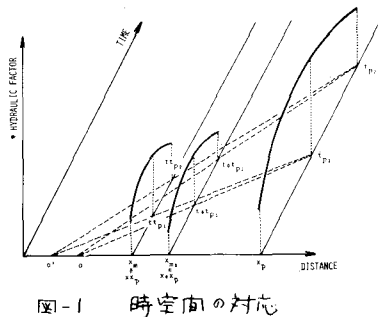


図-1 時空間の対応

$$V_* t x^{-1} = 1 + \eta_8, \quad a_* V_e^{-1} x^{-1} t^{-1} = 1 + \eta_9, \quad r_* a_*^{-2} K_*^{-1} = 1 + \eta_{10}, \quad V_e x^{-1} t = 1 + \eta_{11}$$

誤差を含まない系では  $\eta_i = 0$  が成立するとして考慮すると、 $\eta_i$  は以下の様に表される。

$$\begin{aligned}\eta_1 &= \eta_3 = \eta_4 = \eta_7 = \eta_{10} = 0, \quad \eta_2 = W_{sb}, \quad \eta_5 = -1 + \frac{\delta}{\delta_0} \frac{K_0}{R} \left( \frac{V_e}{V_{eo}} \frac{x}{x_0} \right)^{3/5} \left( \frac{n'_0}{n'} \right)^{3/5} (1 + W_{sb})^{2/5} \\ \eta_6 &= -1 + \frac{\delta}{\delta_0} \frac{K_0}{R} \left( \frac{V_e}{V_{eo}} \frac{x}{x_0} \right)^{3/5} \left( \frac{n'_0}{n'} \right)^{3/5} (1 + W_{sj})^{2/5}, \quad \eta_8 = -1 + \frac{\delta}{\delta_0} \frac{K_0}{R} \left( \frac{n'_0}{n'} \right)^{3/2} (1 + W_{cj})^{2/5} \\ \eta_9 &= -1 + \frac{\delta}{\delta_0} \frac{K_0}{R} \left( \frac{n'_0}{n'_{eo}} \right)^{3/2} \left( \frac{V_{eo}}{V_e} \left( \frac{x_0}{x} \right)^2 \right)^{2/5} (1 + W_{cj})^{2/5} \quad \eta_{11} = -1 + \frac{V_e}{V_{eo}} \frac{\delta}{\delta_0} \frac{K_0}{R}\end{aligned}$$

かくして、相似律の誤差の物理的意味が明確となる。なお、 $W$  は、時間と位置の関数である。(1-2 章)

## §1-2 実模型と理想模型

対象の流出系は、力学的、運動学的、幾何学的相似条件より自由度がある系となる。ところが、適用可能な時空間スケールや流域場の材料定数、有効摩擦強度等と相似律より決まる simulation の可能性を調べると、少々くとも  $V_e = x/t, x = 1/100$  の条件から  $V_e < 1$  で、 $n_* = n'$  とする必要があり、 $=$  の = と 1 は、現象論的にも、運動場形成上からも好ましくない。一方、山地河川の河道形状の境界条件の設定の困難さを考慮し、河道部流水に関する幾何学的相似条件の一部(i.e.  $V_e = x/t$ )を緩和して自由度4の流出系として議論すると、図1-2の様に、一応、拘束条件を満たす

simulation 可能な相似比の組合せが得られる。なお、 $=$  は  $=$  、 $=$  は  $=$  、 $=$  は  $=$  、 $=$  は  $=$  である。即ち、 $V_e \sim t$  上で、

$$R_1(t; x, n_* = 10) > V_e > R_1(t; x, n_* = 1/10)$$

$$R_2(t; x, n' = 1) > V_e > R_2(t; x, n' = 1/100)$$

$$V_e > R_3(t; \delta, h = 1/100), \quad V_e > R_4(\delta; x, h = 1/100)$$

$$1 > t > 1/100 \quad \Sigma \text{満たす}, \text{同時に}, \quad 100x > \delta/t > x$$

を満たすものである。 $=$  は  $=$  、 $R_1 = G^{-1}(n_* x/t)^{3/5}/xt$  、

$$R_2 = n'^{3/2} x^{3/2} t^{-5/2}, \quad R_3 = \delta t/\delta, \quad R_4 = \delta h/x, \quad \text{または } x = 1/100$$

± 2、雨水の伝播過程を考えると、中間流、表面流といふは山腹斜面部での現象と河道部の現象は互に構成されますが、流域全体からの立場よりすれば、各要素は必ずしも同等とは限らない。

ここで、山腹斜面の現象が卓越しているとすると、その系でのみ

相似性を考慮し、残る部分系では相似といつて無意味な雨水伝播が行われるとある。さらに、実模型と理想模型に対する誤差的なものと考えると、その誤差評価を行なうことは下り、一応、実流域と実模型における現象の対応がつこう。図1-3は、上述の誤差的方法論の概念を示したものであり、図の意味する所は、実模型における水理量と実流域のものと直接関連づけが出来ないので、理想模型と実模型の対応を推定し、間接的で実流域の水理量を知るとしている。ここで、次の様な例を考慮する。

$\sin \theta$	$\gg \frac{\partial h}{\partial s}$	$\cos \theta$	undistorted model
自由表面	4	3	
中間流	$v = k$ $t = \gamma x/k$ $h = r_e x/k$	$= k$ $= \gamma x/t$ $= r_e x/t$	
表面流	$h' = r_e t$ $v' = x/t$ $n' = r_e^{2/3} t^{5/3} / x$	$= x$ $= x/t$ $= x^{2/3} / r_e$	
河道流	$v_* = x/t$ $a_* = r_e x t$ $r_* = G(r_e x t)$ $n_* = G(r_e x t)^{2/3} t / x$	$= x/t$ $= x^2$ $= x$ $= x^{2/3} / r_e$ $r_e = x/t$	

図1-1 相似律

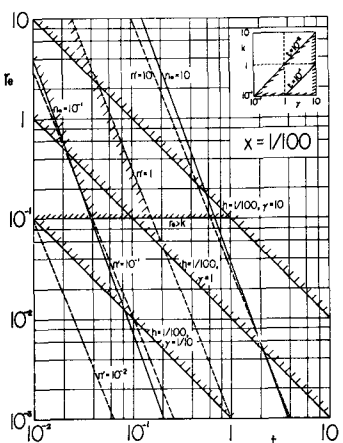


図1-2 拘束条件

実模型 ( $j = \text{nonzero}$ ) と理想模型 ( $j = 0$ ) における、河道部横断面形状  $Y_{*m,j} = K_{mj} A_{*m,j}^{\frac{2}{3}}$ , 河道流抵抗割  $\beta_{*m,j} = C_j Y_{*m,j}^{\frac{2}{3}} \sin \theta_j$

$B$  に有効降雨強度比  $Y_{ej}$  のみに差異が生じて、 $\beta_{*m,j}$  は、両模型河道部での流量、流水断面積の関係を同時刻( $t_m$ )、同位置( $L_c$ )で対応させて求められる。 $= = = = 1/C_j$ : 抵抗係数

(i) 中間流出から河道流が生じる場合

$$\frac{Q_*}{Q_{*0}} = \frac{Q_{*m}}{Q_{*mo}} = \frac{\overline{Y_{em}(\tilde{t}_j, T_s)}}{\overline{Y_{emo}(\tilde{t}_j, T_s)}} = \frac{Y_e}{Y_{eo}} \frac{\overline{Y_{ep}(\frac{\tilde{t}_j}{t_0}, \frac{T_s}{T_0})}}{\overline{Y_{ep}(\frac{\tilde{t}_j}{t_0}, \frac{T_s}{T_0})}}^{P_c}$$

$$\frac{A_*}{A_{*0}} = \frac{A_{*m}}{A_{*mo}} = \frac{(Y_{eo}^{-1} C_o K_{mo}^{\frac{1}{3}} \sin \theta)^{P_c}}{(Y_e^{-1} C K_m^{\frac{1}{3}} \sin \theta)^{P_c}} (L_s L_c) \frac{P_c - P_{*0}}{P_{*0}} \frac{\overline{Y_{ep}(\frac{\tilde{t}_j}{t_0}, \frac{T_s}{T_0})}}{\overline{Y_{ep}(\frac{\tilde{t}_j}{t_0}, \frac{T_s}{T_0})}}^{P_c}$$

$$= = = = , \quad \overline{Y_{emj}(\tilde{t}_j, T_s)} = \frac{1}{\tilde{T}_s} \int_{\tilde{t}_j}^{\tilde{T}_s} Y_{emj}(s) ds, \quad g_j(\tilde{t}_j) = \overline{g_j(t_m, t_m - \tilde{t}_j)} = \frac{1}{t_m - \tilde{t}_j} \int_{\tilde{t}_j}^{t_m} g_j(s) ds = \frac{R_m \sin \theta}{Y_{mj}} \int_{\tilde{t}_j}^{\tilde{T}_s} Y_{emj}(s) ds$$

$g_j$ : 山腹斜面からの河道への流入強度,  $T_s$ : 雨水の斜面伝播時間,  $L_s$ : 代表斜面長,  $Q_*$ ,  $Q_{*0}$ : 流量比  
 $Y_{ep}$ : prototype の有効降雨強度,

(ii) 表面流出が支配的の場合

$$\frac{Q_*}{Q_{*0}} = \frac{Y_e}{Y_{eo}} \frac{\overline{Y_{ep}(\frac{\tilde{t}_j}{t_0}, \frac{T_s}{T_0})}}{\overline{Y_{ep}(\frac{\tilde{t}_j}{t_0}, \frac{T_s}{T_0})}}^{P_c}, \quad \frac{A_*}{A_{*0}} = \frac{(Y_{eo}^{-1} C_o K_{mo}^{\frac{1}{3}} \sin \theta)^{P_c}}{(Y_e^{-1} C K_m^{\frac{1}{3}} \sin \theta)^{P_c}} (L_s L_c) \frac{P_c - P_{*0}}{P_{*0}} \frac{\overline{Y_{ep}(\frac{\tilde{t}_j}{t_0}, \frac{T_s'}{T_0})}}{\overline{Y_{ep}(\frac{\tilde{t}_j}{t_0}, \frac{T_s'}{T_0})}}^{P_c}$$

$$= = = = , \quad \overline{Y_{emj}(\tilde{t}_j, T_s')} = \frac{1}{\tilde{T}_s'} \int_{\tilde{t}_j}^{\tilde{T}_s'} Y_{emj}(s) ds, \quad g'_j(\tilde{t}_j) = \overline{g'_j(t_m, t_m - \tilde{t}_j)} = \sqrt{\sin \theta} \left\{ \int_{\tilde{t}_j}^{\tilde{T}_s'} Y_{emj}(s) ds \right\}^{\frac{S_3}{2}}$$

$g'_j$ ,  $T_s'$  は (i) の  $g$ ,  $T_s$  に対応する。

次へ  $\rightarrow$ , 実模型において測定された流量  $Q_{*m}(t_m, L_c)$  より、対応する時空間の実流域。流量  $Q_{sp}$  ( $t_p = t_m/t_0$ ,  $x_p = L_c/x_0$ ) は、 $Q_{sp} = Q_{*m}(Q_{*0}/Q_*)(Y_e X_0^2)^{-1}$  となり得る。また、上述の議論より  $\pm 1-1$  の  $W$  の関数形式もほぼ推定出来よう。

## 2 模型の構成手順

我々の对象である急勾配の流れ場を有する流出系は自由度4(厳密  $\pm 3$ )の系であるが、模型形成上、何を独立量にするかを決定するかは重要な問題である。山腹表層斜面流出場について、simulation の拘束条件を満足する様な透水係数( $R_m$ )、空隙率( $\alpha_m$ )を有する多孔質材料の選択は限られ、また、 $R_m$  や  $\alpha_m$  を既属変数的=変化させることの困難さを考慮すると、むしろ、推定可能な  $t_m$ ,  $R_m$  を固定量とし、即ち  $R$ ,  $\alpha$  を独立量に選んで他の相似性を決めた方が実際的である。一方、表層部表面粗度については、表面の粗さをある程度変化させることが出来るので、既属変数として考慮する方がよい。表-2は、流出現象に関する、時空間スケール、流れ場の定数、有効降雨強度と他の物理量の中で、実流域での何がかなりの精度で推定出来るか、また、模型部での何を固定しておいた方が良いかを示したものである。以上の考察並びに相似律を媒介にして、以下の手順で述べた方法論に従って、理論的には模型が完成されるとなる。

(i) 実用可能な表層材料を模型に設置する。

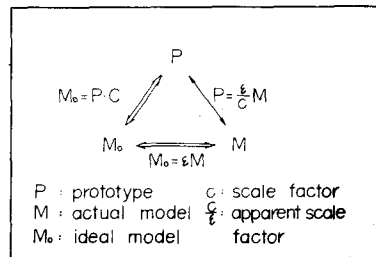


図-3 誤差的方法論

(ii)  $N_*$  は既知量であるから,  $Re$ ,  $t$  を

$N_* = g(Rext)^{2/3}x^{-1/2}$  の関係に従って変化させ, 中間流出のみが発生していふと思われる時の hydrograph rep.  $t_p$  を用いて実験的 hydrograph  $Q_m - t_m$  を求め, 変換式  $t_p = Q_m/Re^2 \sim t_m/x$  が最も実流域の hydrograph に適合する  $Re$ ,  $t$  を決定する。

(iii)  $t = \delta x/R$  フリウ/危が決り,  $\delta m/\rho_m$  は既知量であるから,  $\delta p/p_p$  が求まる。

(iv) (iii)で求まつた  $t = Re$ ,  $t$  を用いて, 善面流出が生じてから大きな出水に対する実験を行なへ, 求まつた hydrograph と実流域のものと比較し, 両 hydrograph に差異が生ずる時の  $Q_p, t_p$  の限界値を推定し, それによつて各々の模型での表層厚さ ( $d_m$ ) を求める。

(v) 各種の洪水ピーク流量の到着時間と, やの間の有効降雨強度との関係より  $n'_p$  を予想推定し,  $n'_m = n'_p Re^{2/3}t^{5/3}x^{-1}$  により決して目安にして, (iv)で求まつた表層に人工粗度を付ける。やがて大出水の場合の降雨を与え, 実流域の hydrograph に適合する様な  $n'_m$  を試行錯誤的に求めよ。

(vi)  $n'_m$  が決まると, 実流域の山腹斜面粗度係数  $n'_p$  は,  $n'_p = n'_m Re^{-2/3}t^{-5/3}x$  により求めよ = が出来る。

(vii)  $N_* = g^{2/3}(rext) \cdot t/x$  により  $N_*$  を推定し, check の意味で  $N_* m$  と  $N_* p$  を求めよ。

(viii) すでに求まつた  $t = dm, Re, t$ ,  $\delta p/p_p$  を用ひ, 一方, 実流域の表層厚さ ( $d_p$ ) が出水解析等で推定出来ると, 実流域表層部の透水係数, 空隙率等,  $R_p = k_m \cdot r_p / \delta m x$ ,  $\delta p = \delta m dm/d_p Re t$  が求まる。

以上の様々な手順を踏むことにより, 実流域における予想推定の困難な流れ場の定数  $R_p, \delta p, n'_p$  を決定しながら模型が構成される。そして, 本研究の目的とも言ふよ「流域内に何が起つてか?」という問題の解答を同時に与えられよう。なお, 構成上の問題点は, 降雨遮断を除く初期損失, 浸透損失については, 現在のところは模型の方法を見出しえてゐないといつておる。やがて, 上述の模型構成における初期損失, 浸透損失の現地観測結果を解析して観測降雨なり, *a priori* に差し引くことが出来ることとして, 有効降雨に対する洪水の hydrograph を観測した hydrograph から分離されていふものとしている。

本研究に關し, 有益な討議, 助言をされた方へ 東大防災研究所 村本嘉雄教授に感謝します。

(注) 相似比  $f$  は次の様に定義す。

$f_p$ : prototype の物理量

$f_m$ : model の物理量

$$f = f_m/f_p$$

PROTOTYPE	MODEL	SCALE FACTOR
$x_p$ $\pm$	$x_m$ $\pm$	$x$ $\pm$
$t_p$ $\pm$	$t_m$ $\pm$	$t$ $\pm$
$r_{e,p}$ $\pm$	$r_{e,m}$ $\pm$	$r_e$ $\pm$
$k_p$	$k_m$	$k$
$\gamma_p$	$\gamma_m$	$\gamma$
$n'_p$	$n'_m$ $\pm$	$n'$
$n_{e,p}$ $\pm$	$n_{e,m}$ $\pm$	$n_e$ $\pm$
$\pm$ : estimable value		$\pm$ : fixed value
$\pm$ : variable value		$\pm$ : variable value

## 表-2 独立相似比, 属相似比

### 参考文献

石原, 下島: 雨水流出シミュレーションの基礎に関する実験的研究  
第26回年次講演会講演集 p.46

下島: 雨水流出模型の相似律とその精度について  
関西支部年次学術講演会講演集 p.47

高橋: 流出機構, 水工学シリーズ, 1967